

1/27

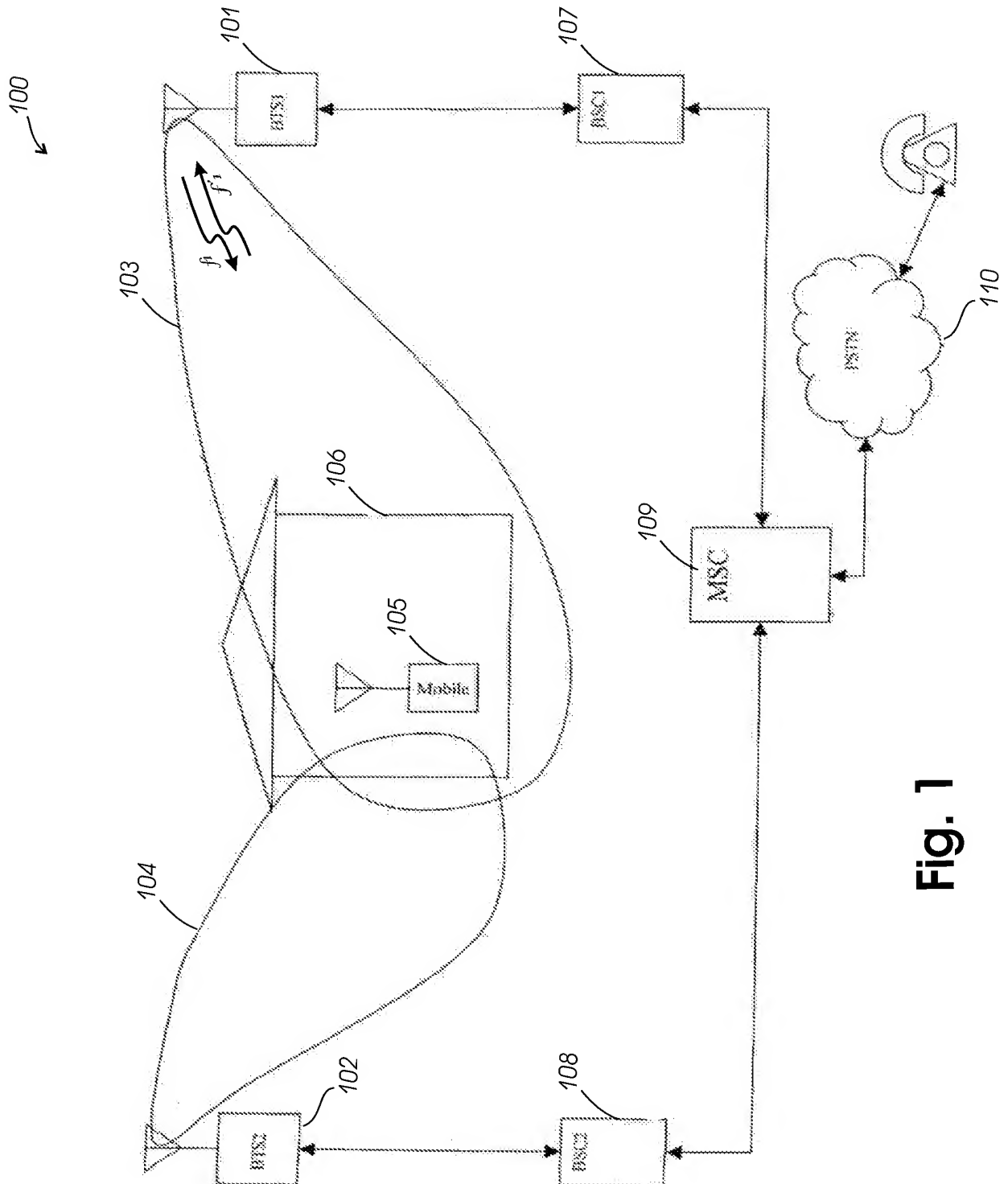


Fig. 1

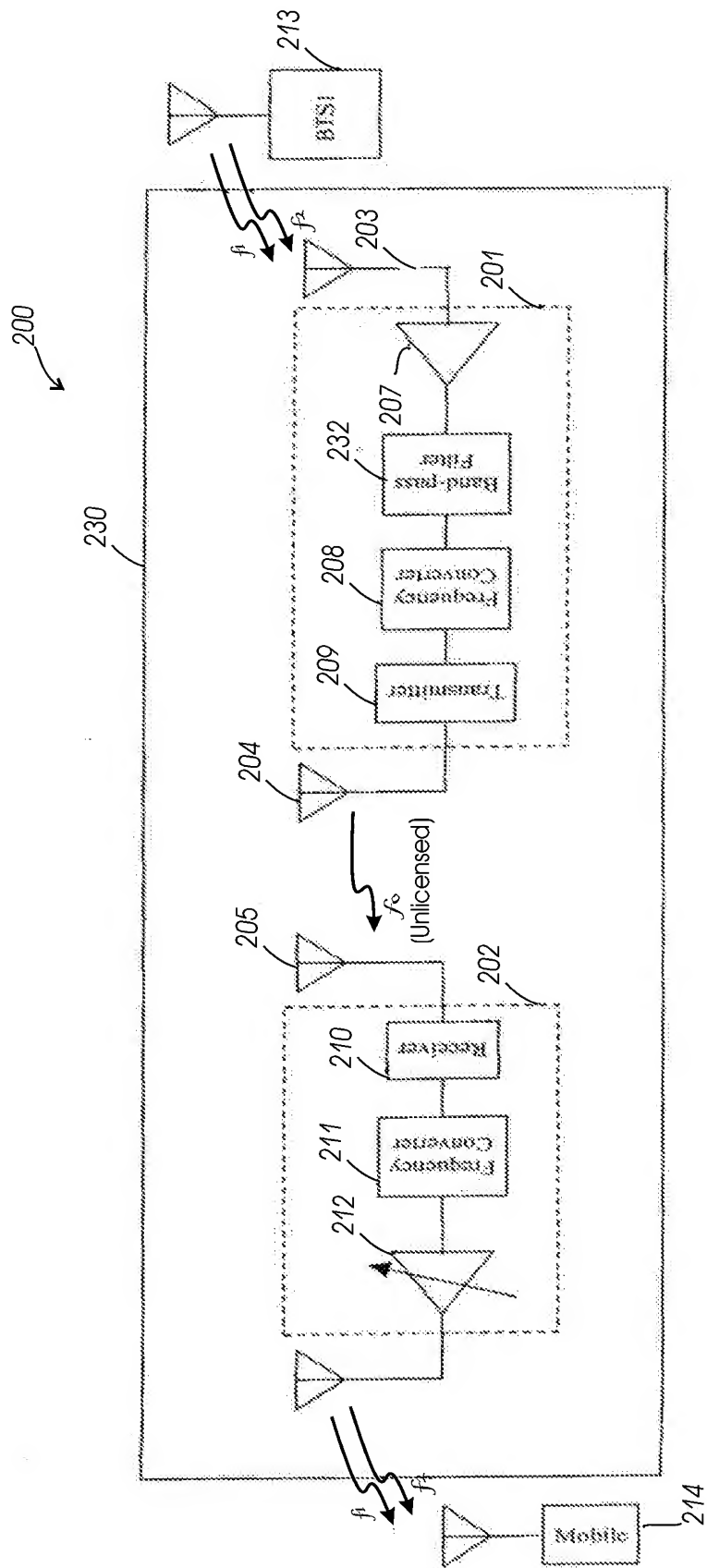


Fig. 2

3/27

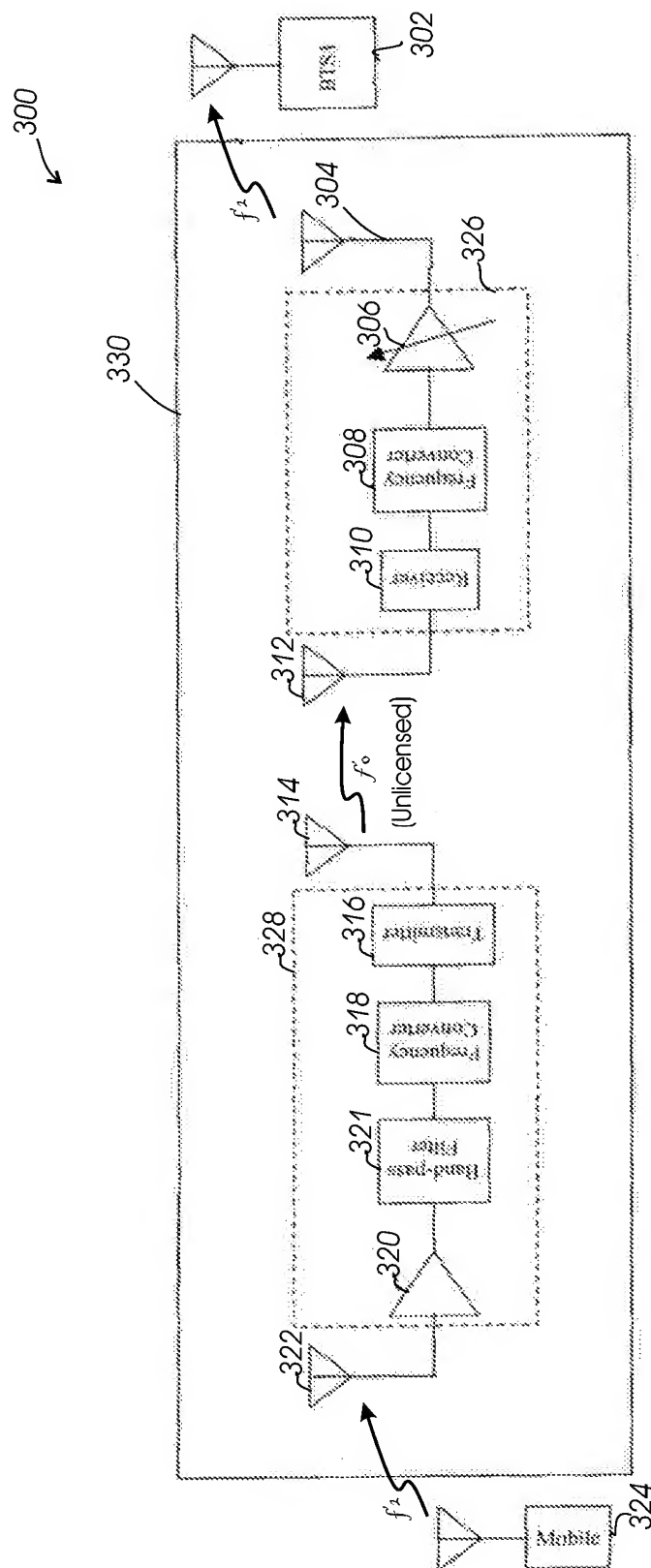


Fig. 3

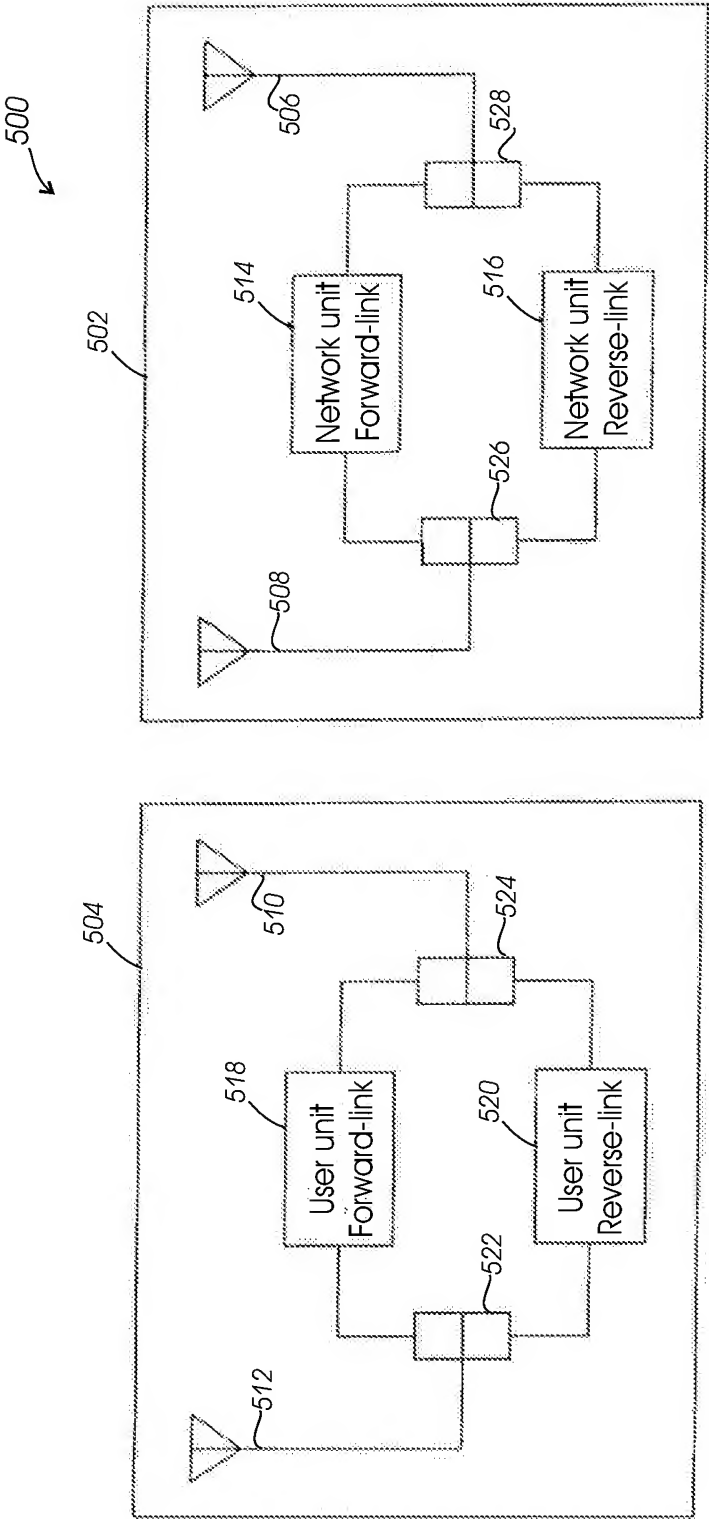


Fig. 4

5/27

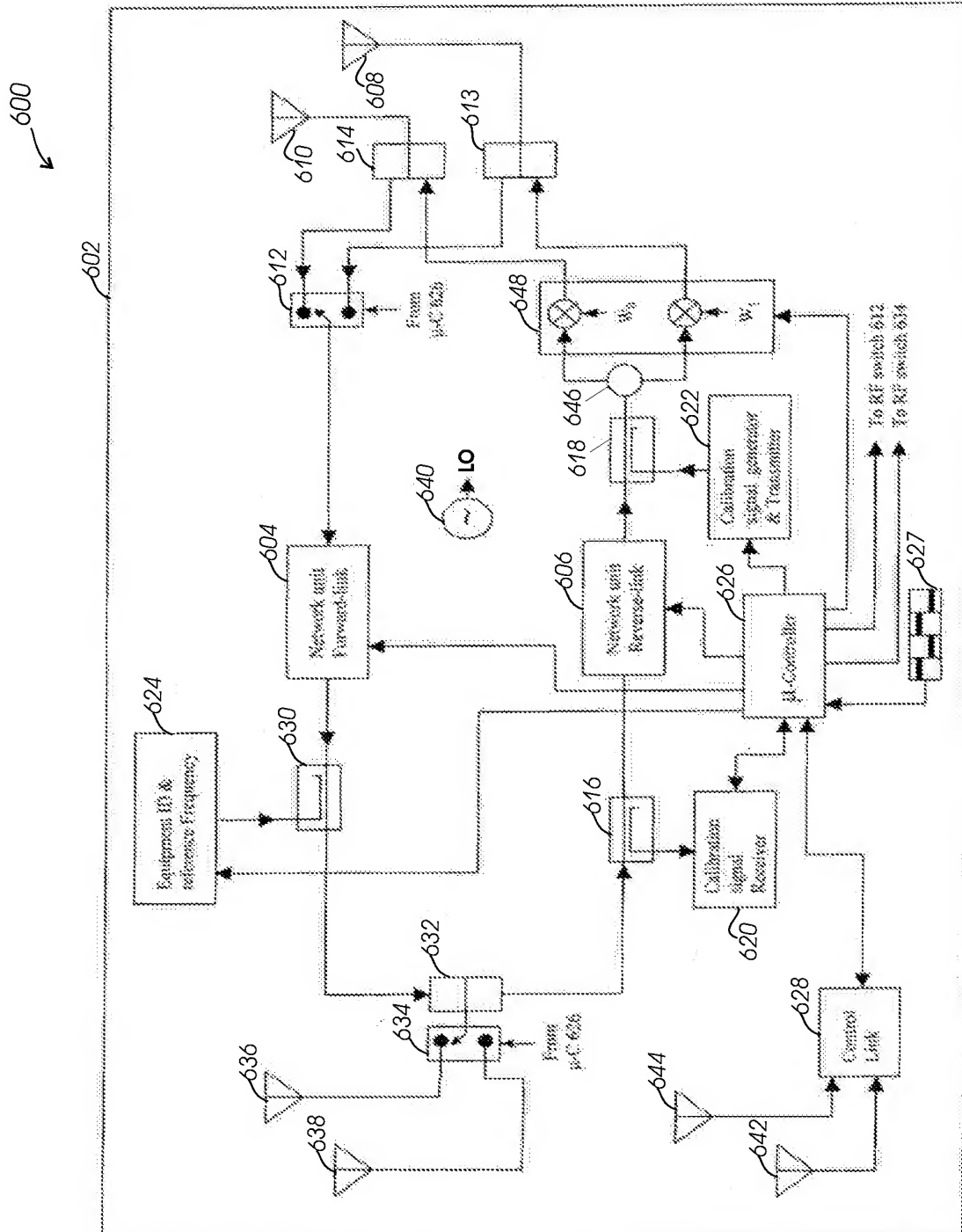


Fig. 5

6/27

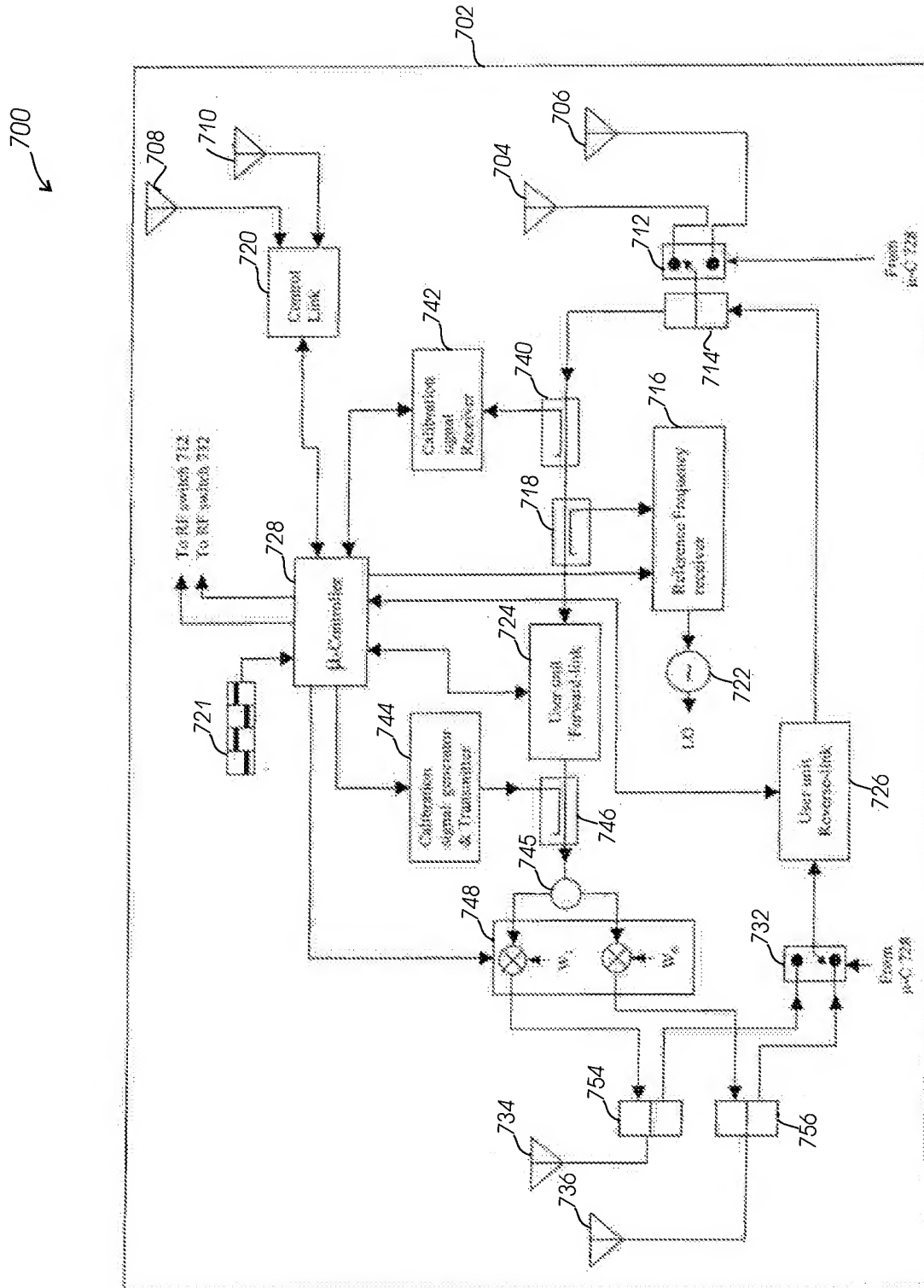


Fig. 6

7/27

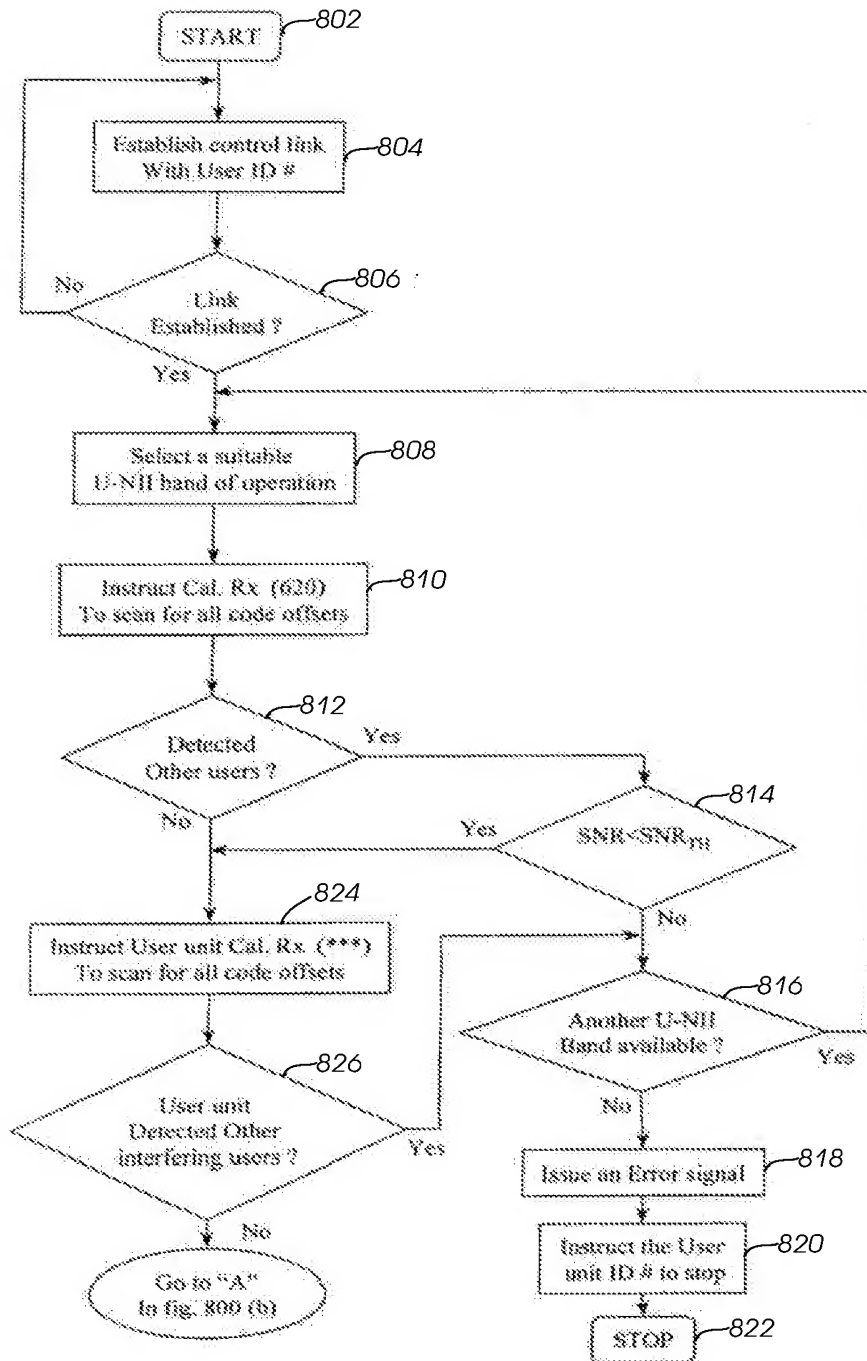


Fig. 7A

8/27

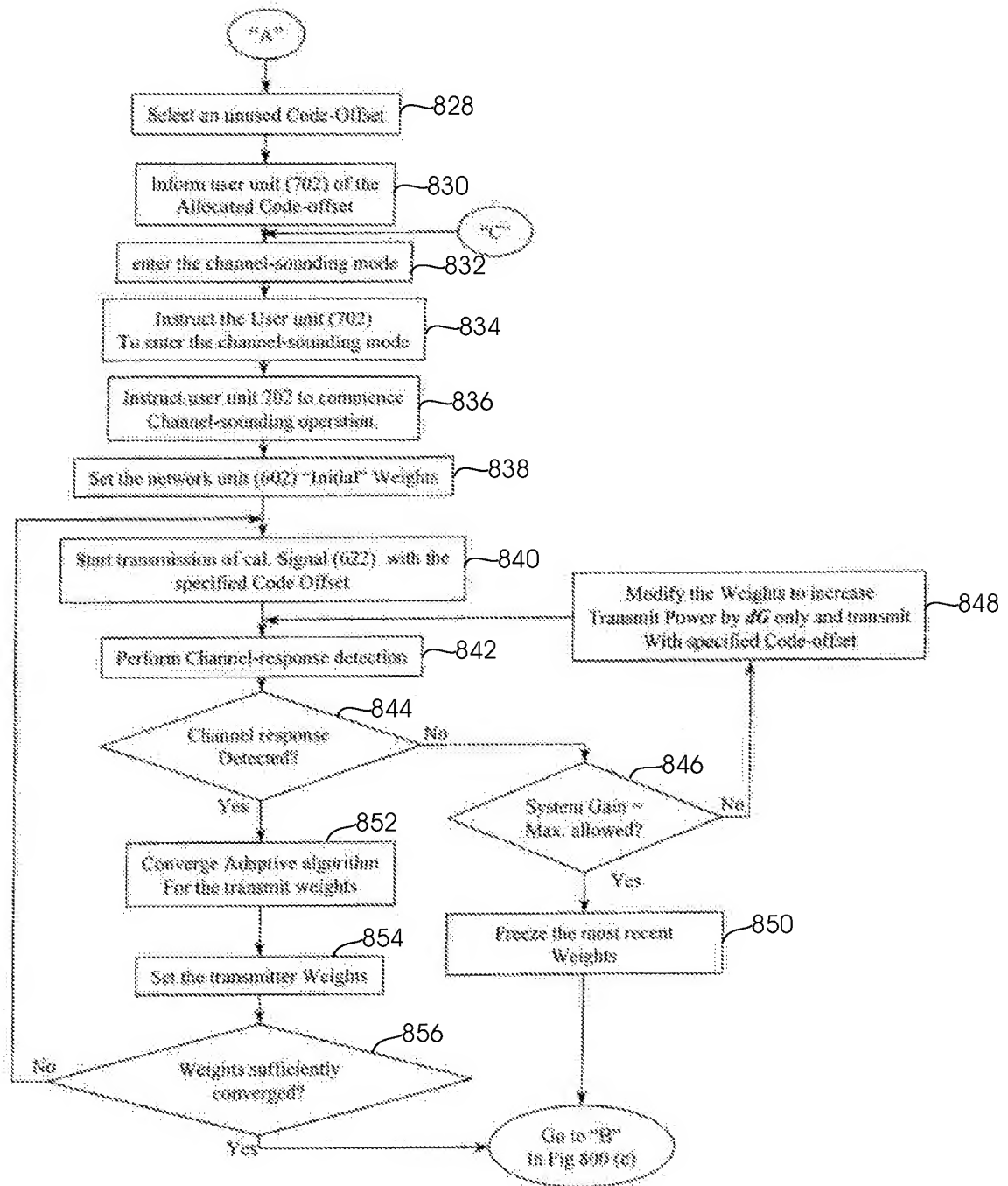


Fig. 7B

9/27

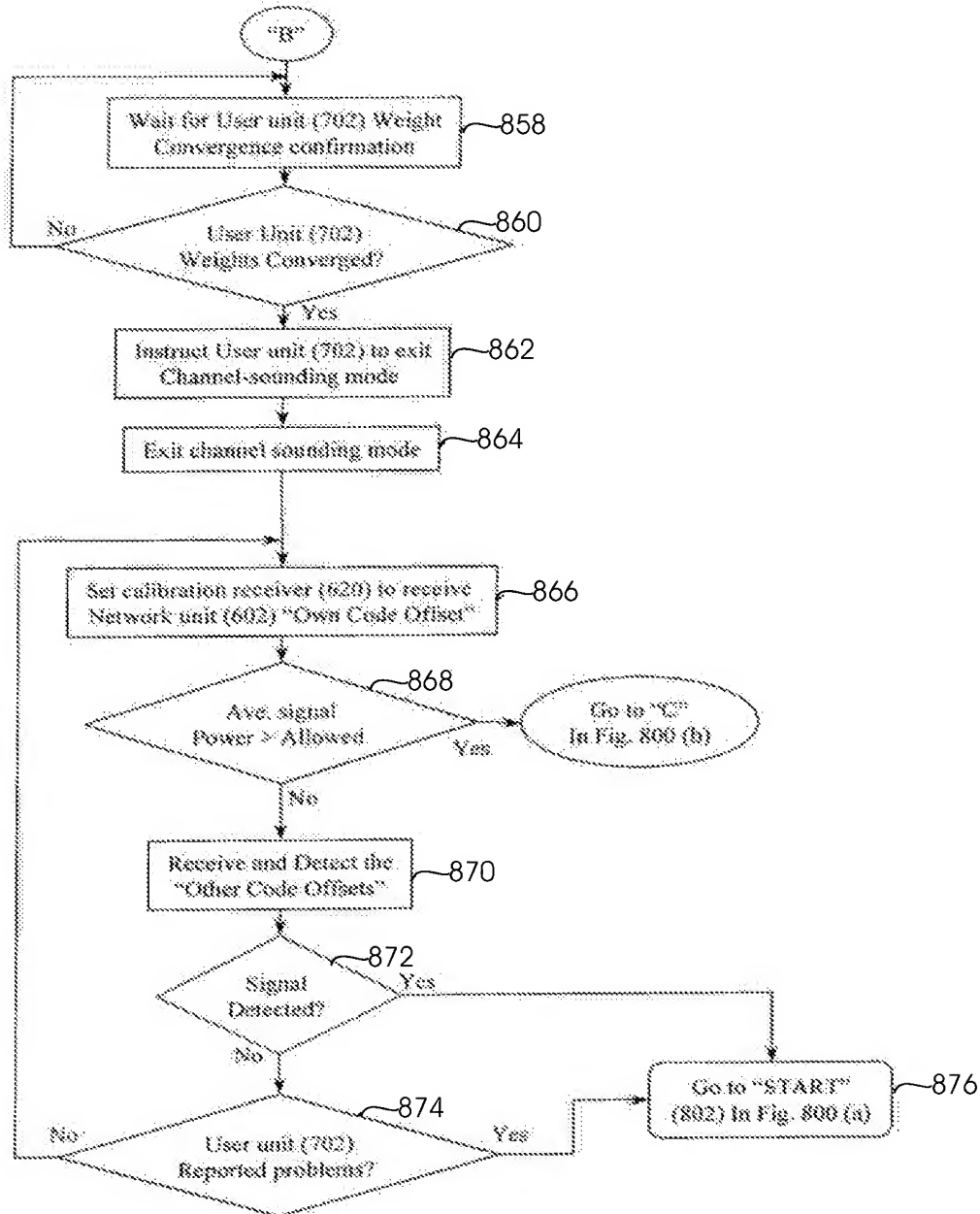


Fig. 7C

10/27

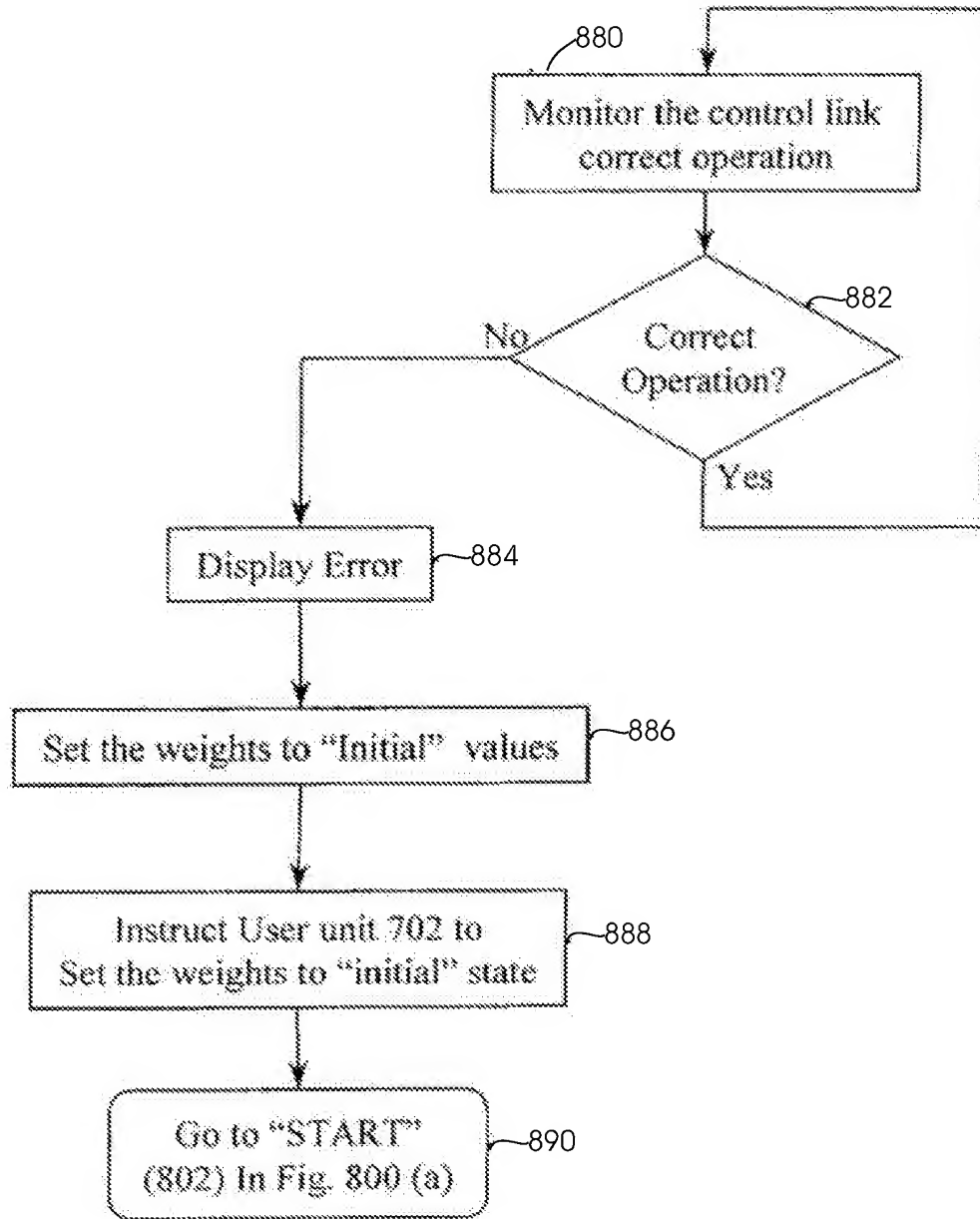


Fig. 7D

11/27

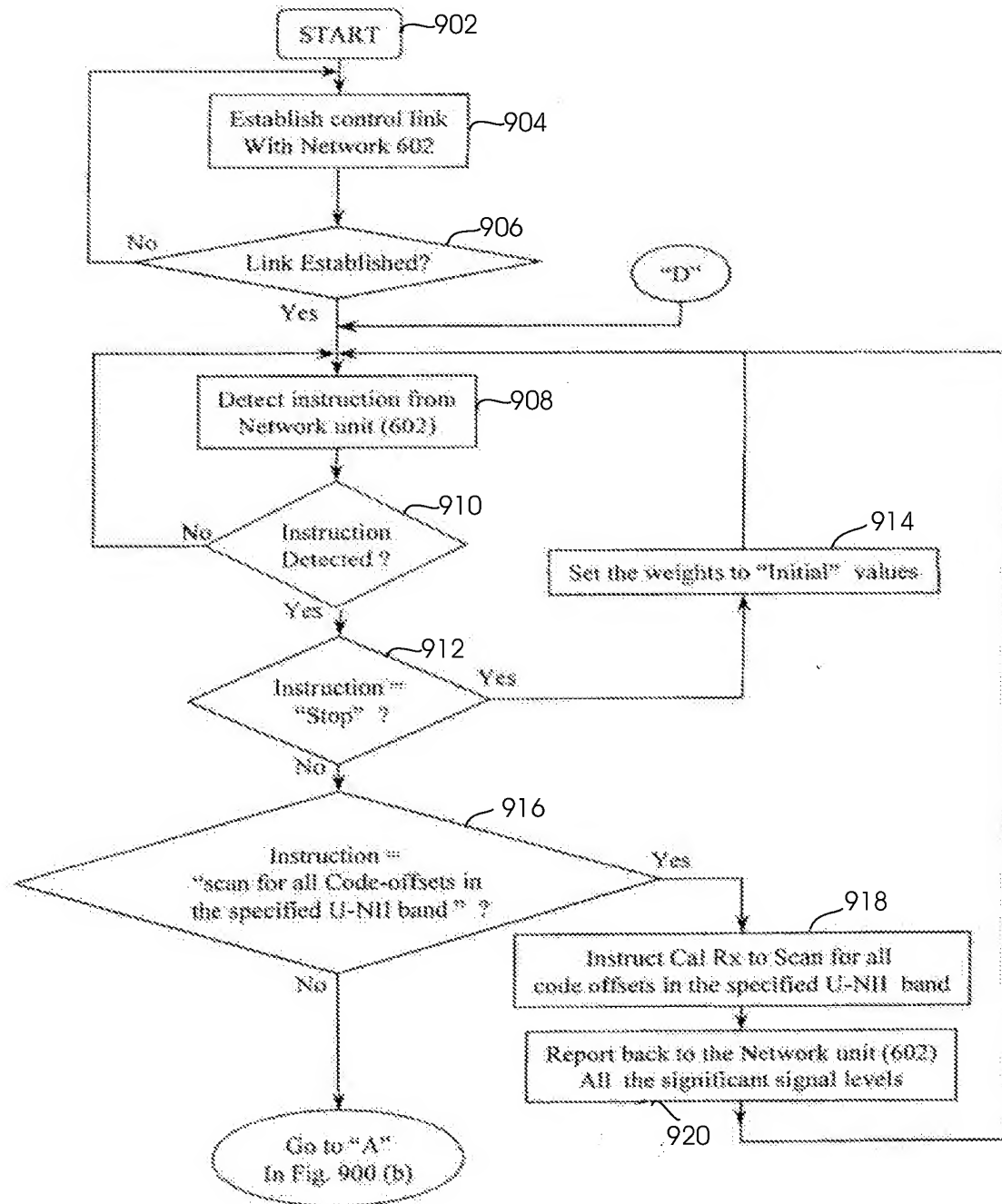


Fig. 8A

12/27

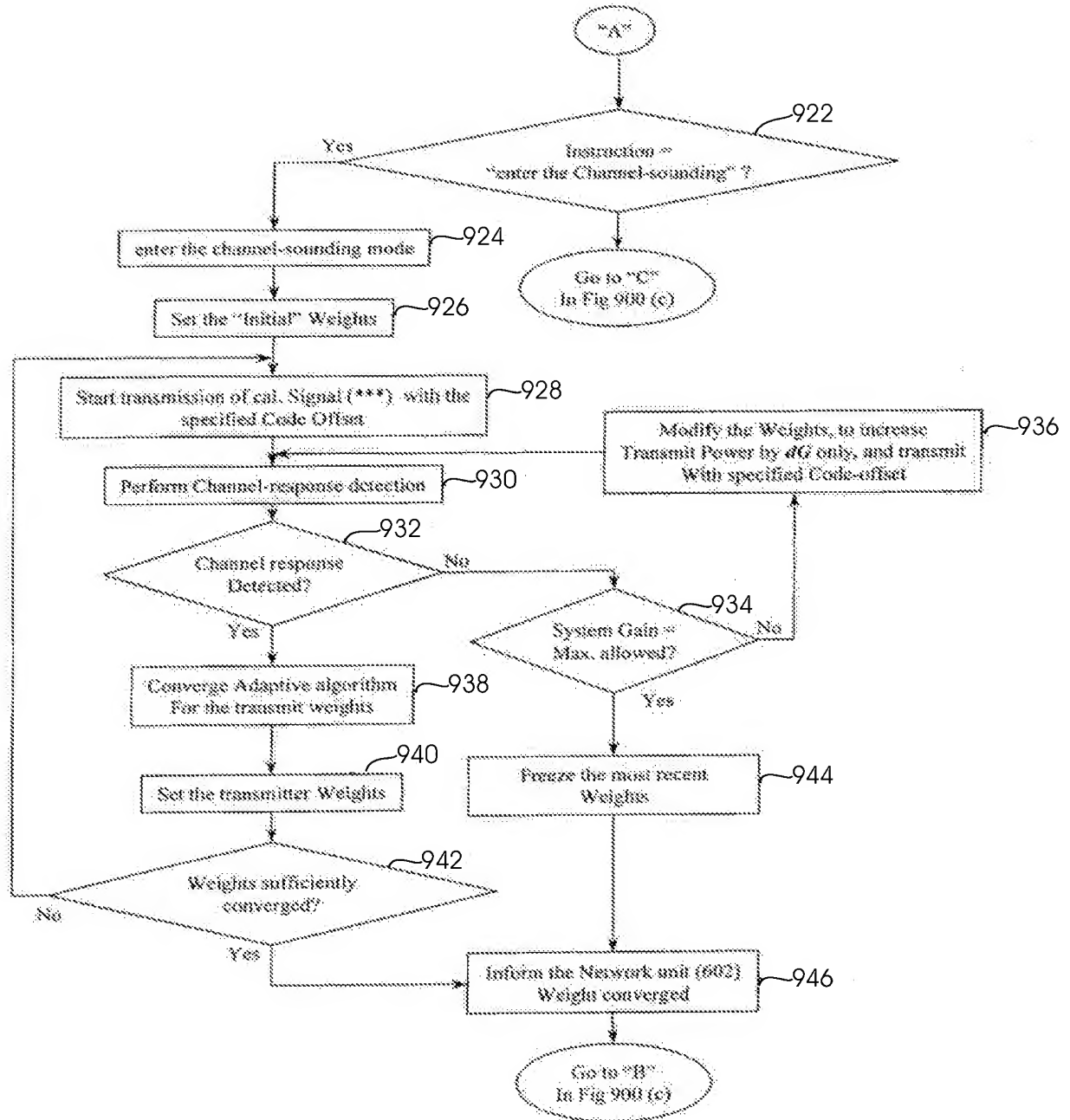


Fig. 8B

13/27

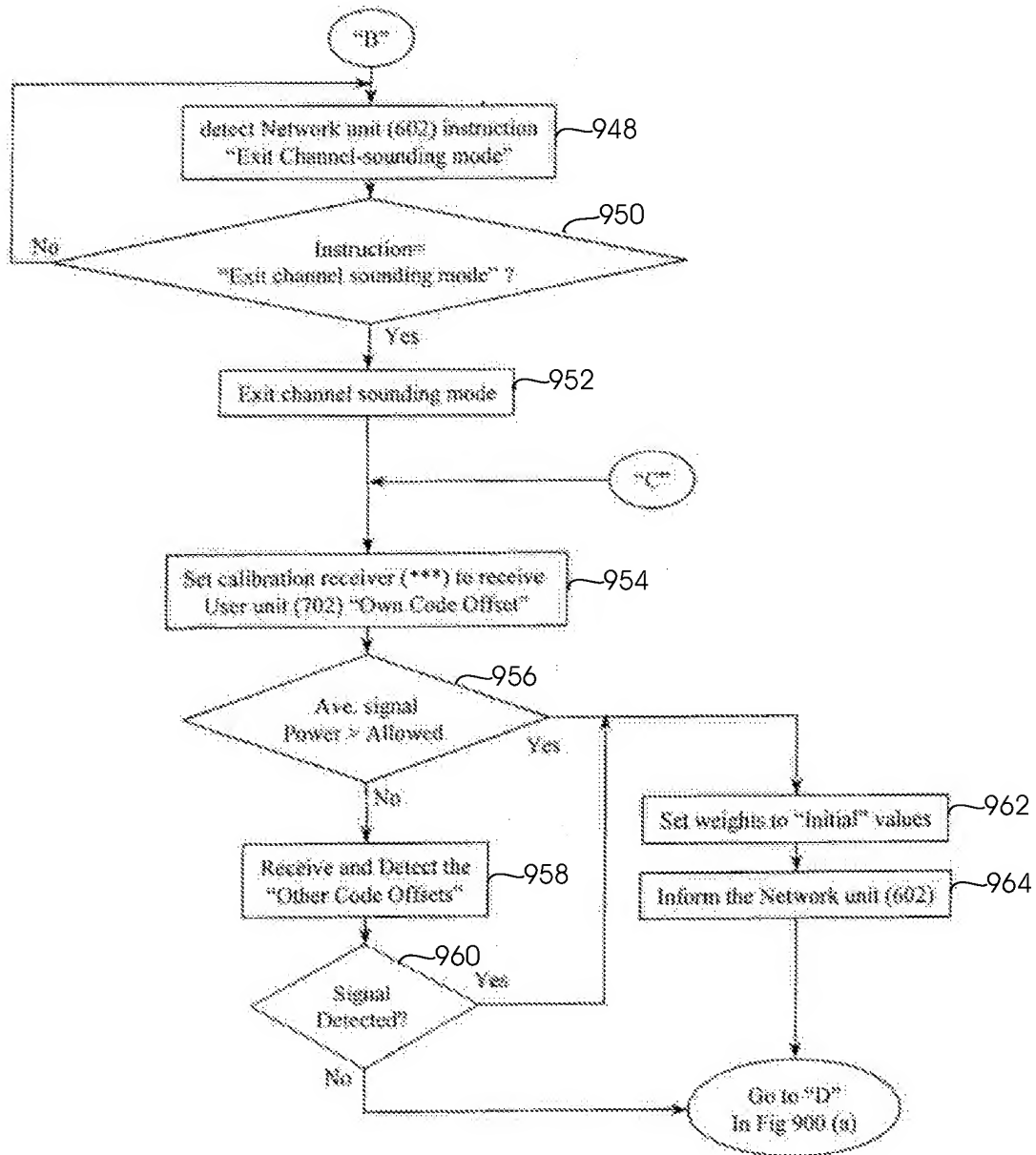


Fig. 8C

14/27

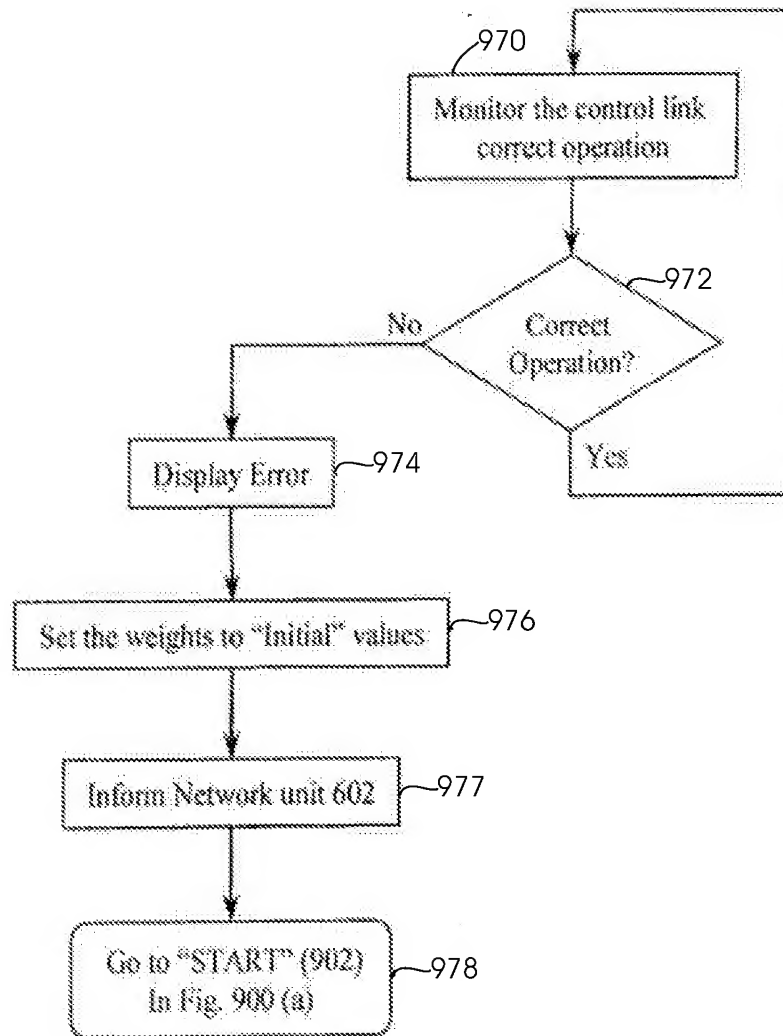


Fig. 8D

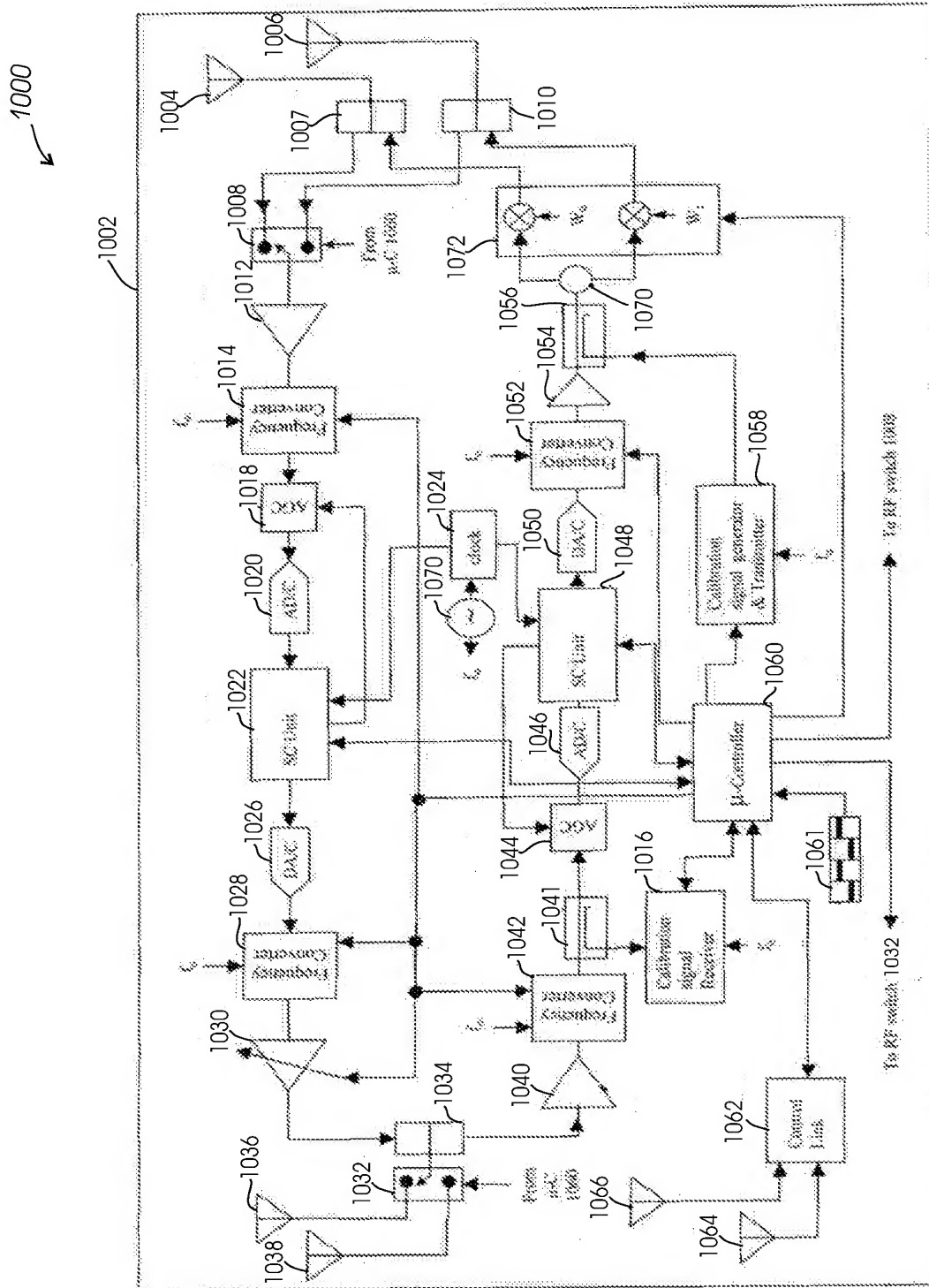


Fig. 9

16/27

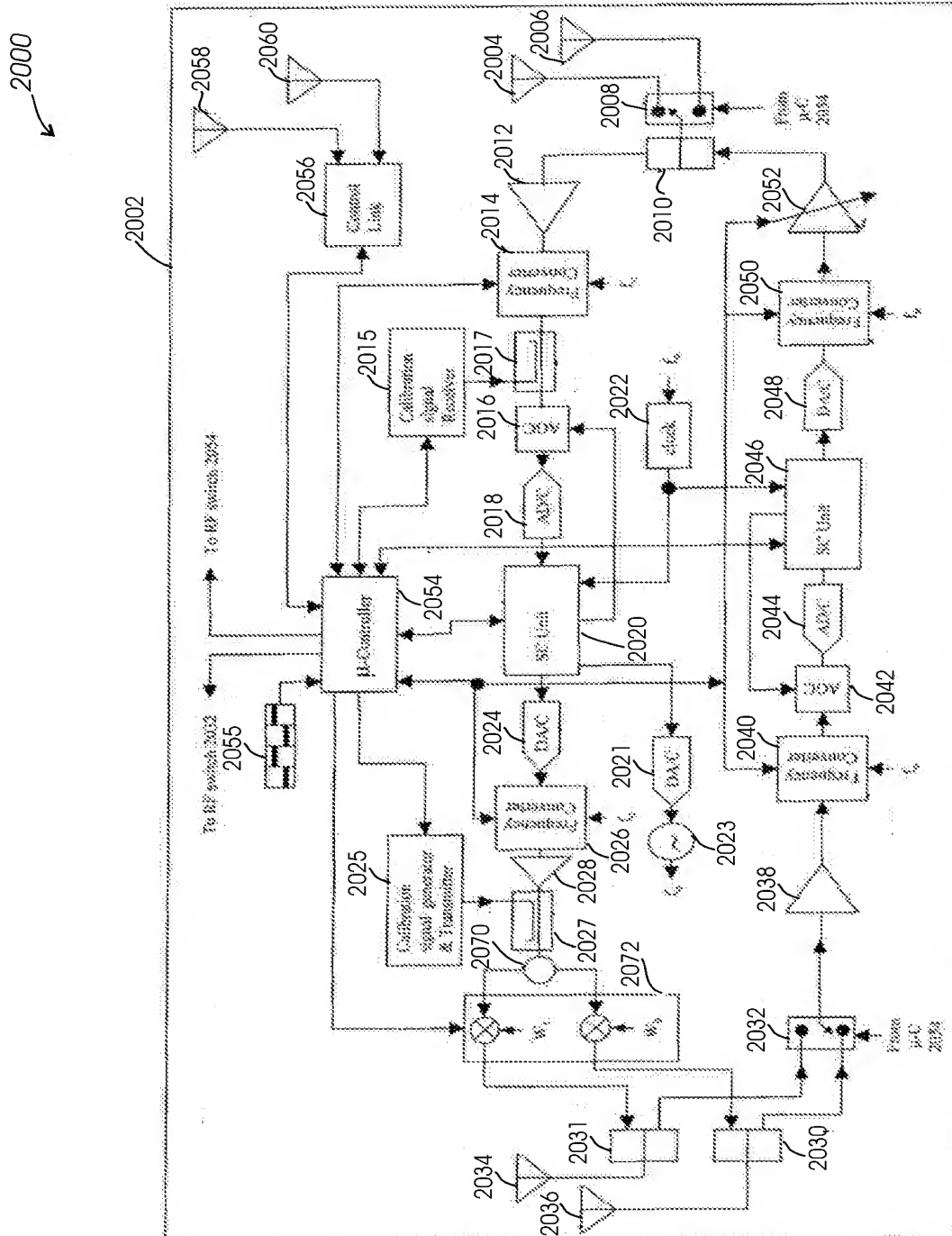


Fig. 10

17/27

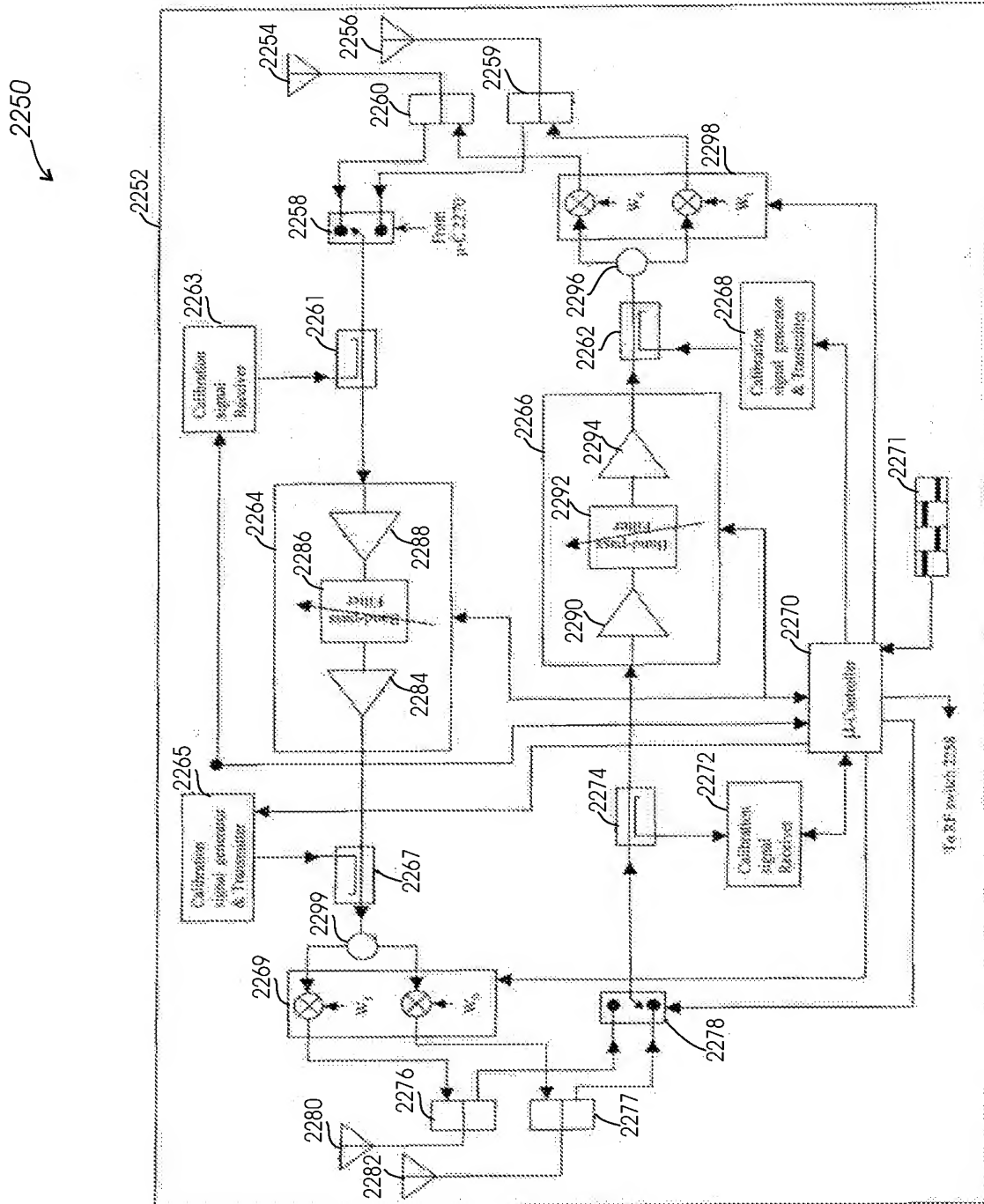


Fig. 11

18/27

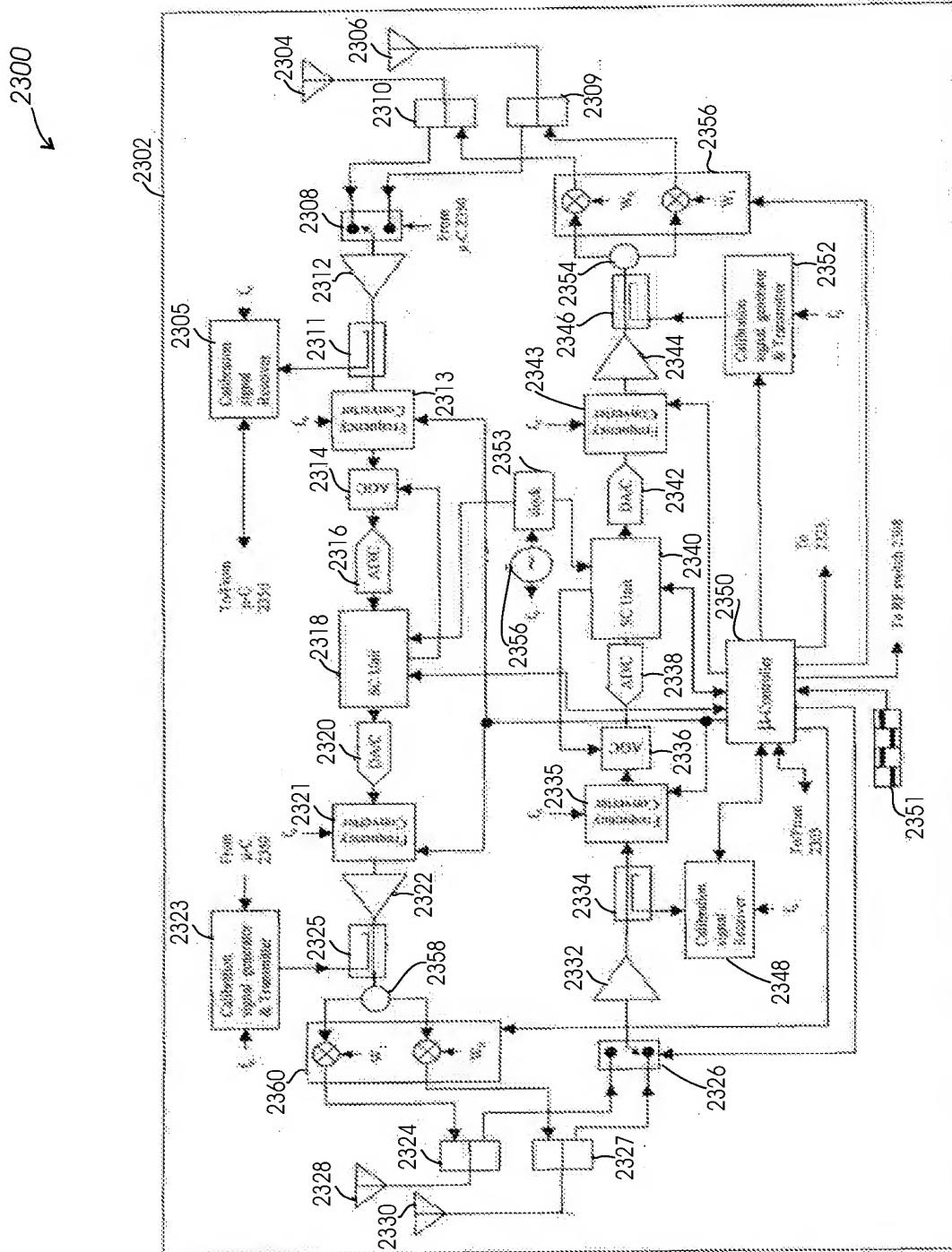


Fig. 12

19/27

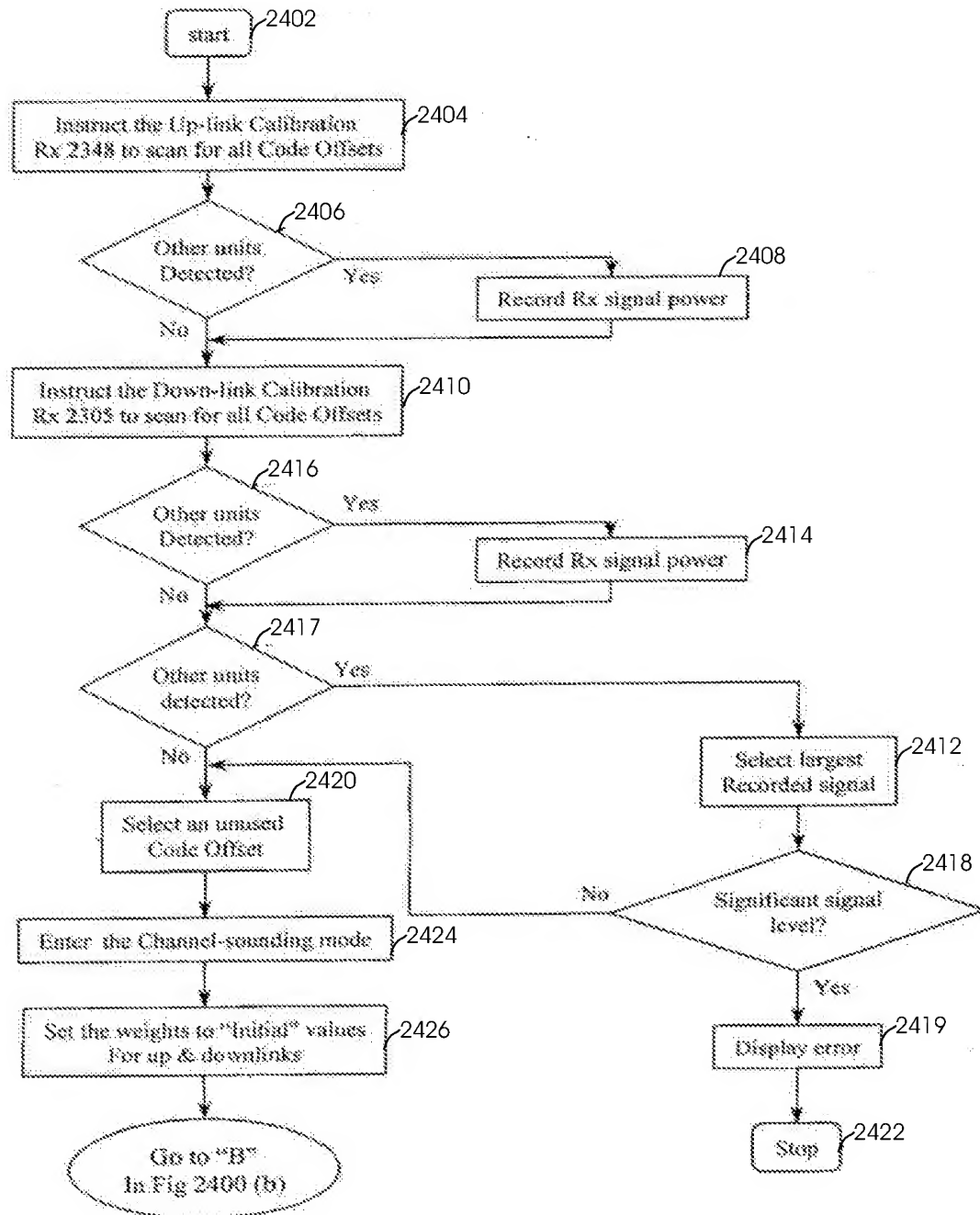


Fig. 13A

20/27

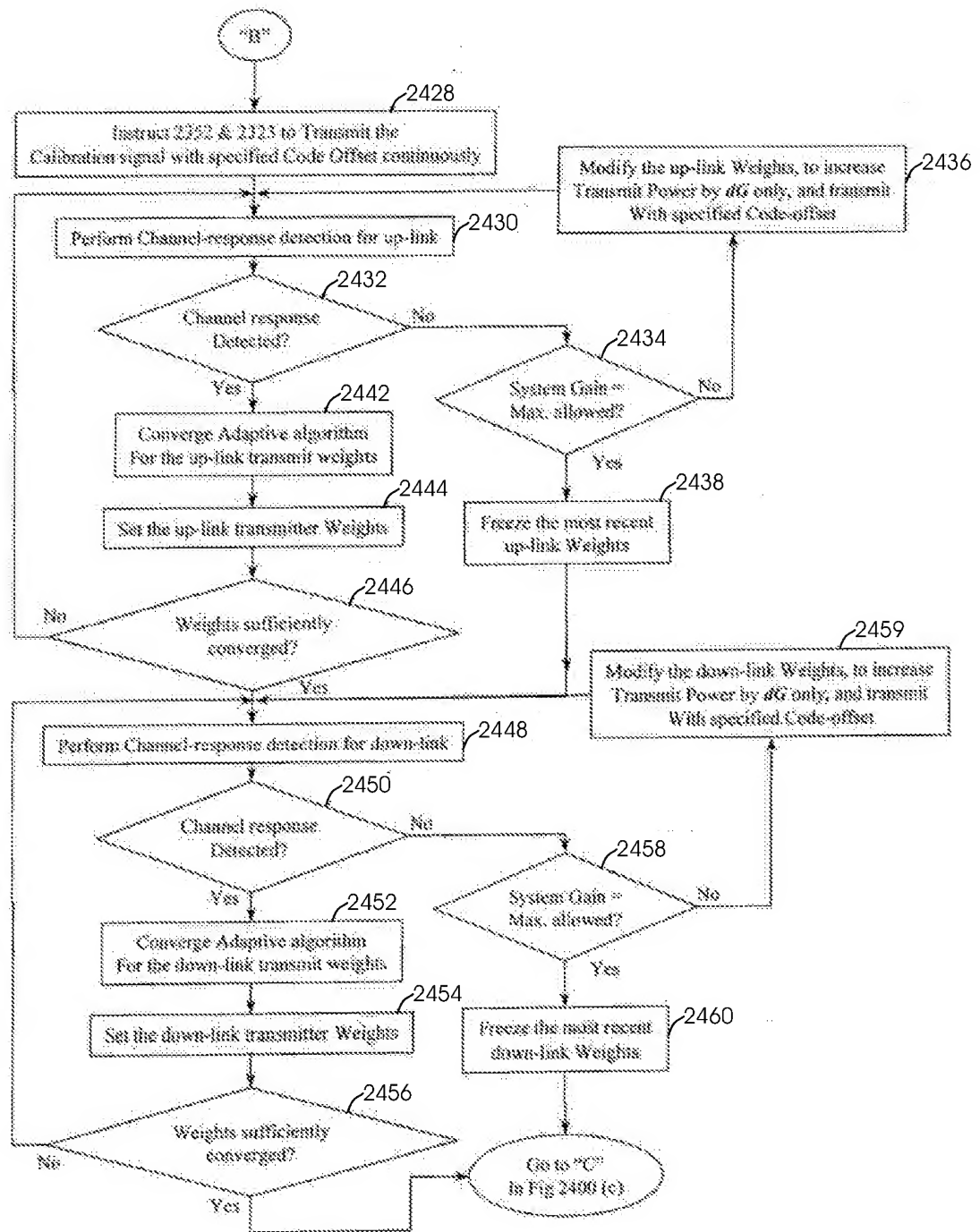


Fig. 13B

21/27

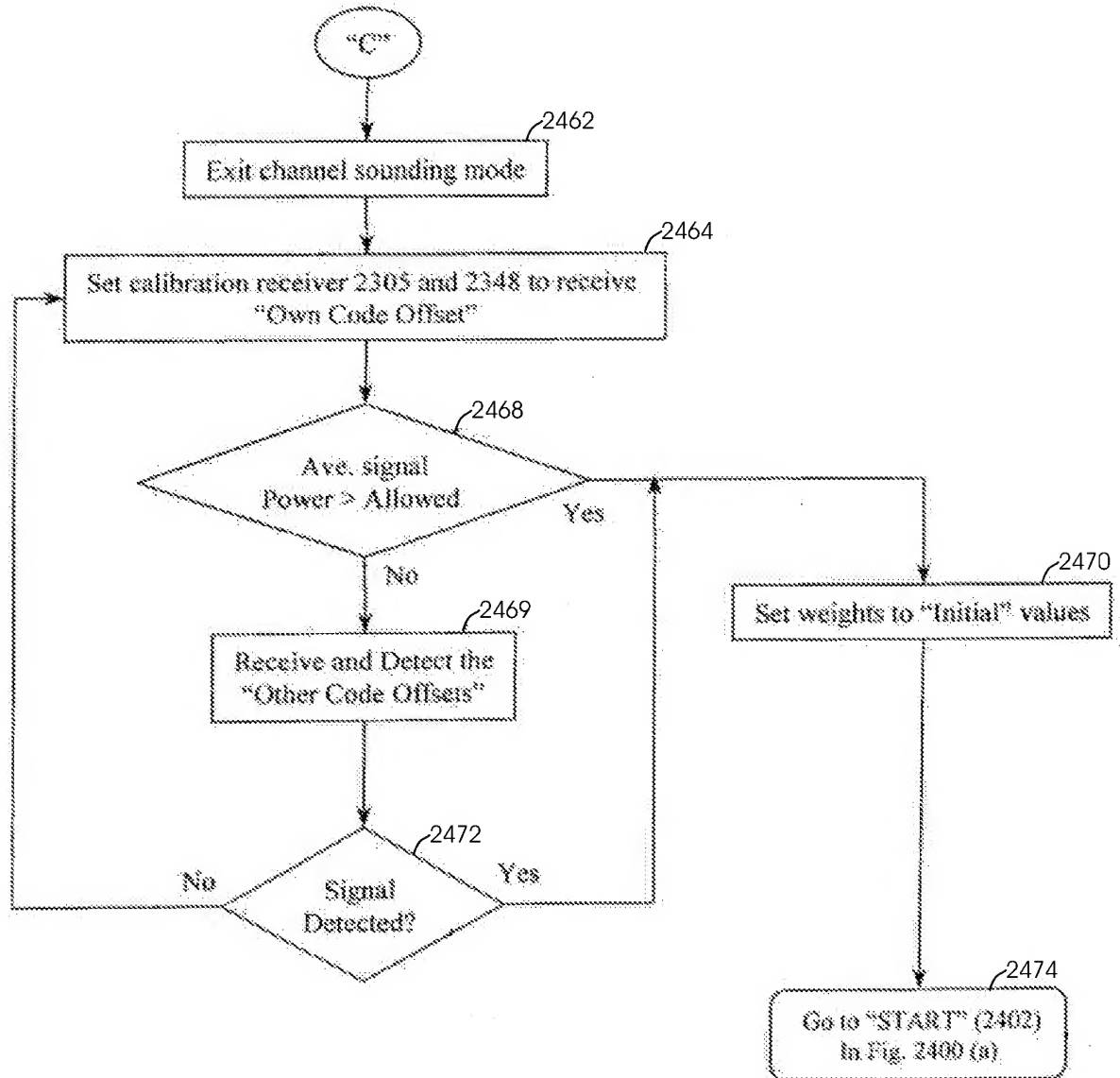
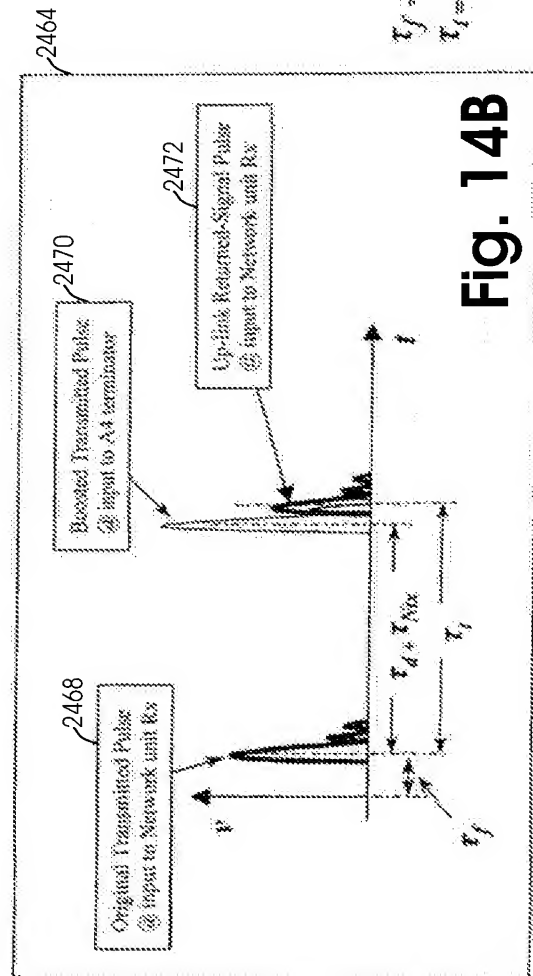
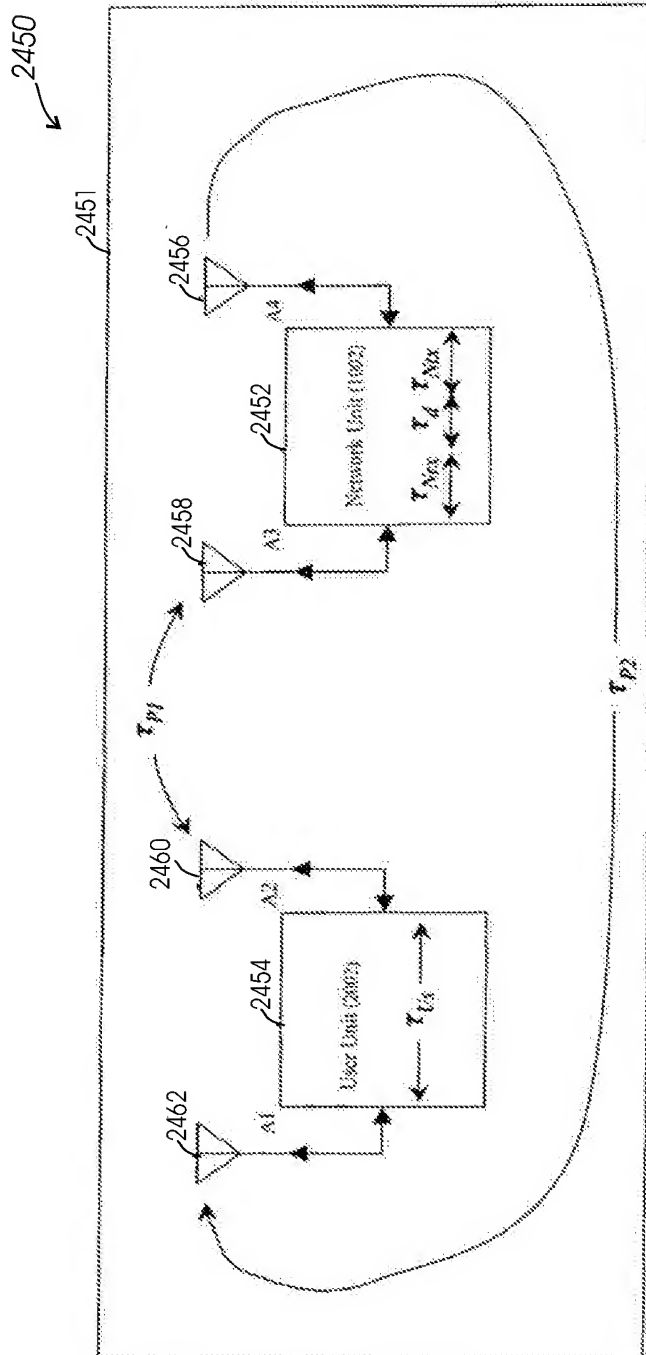
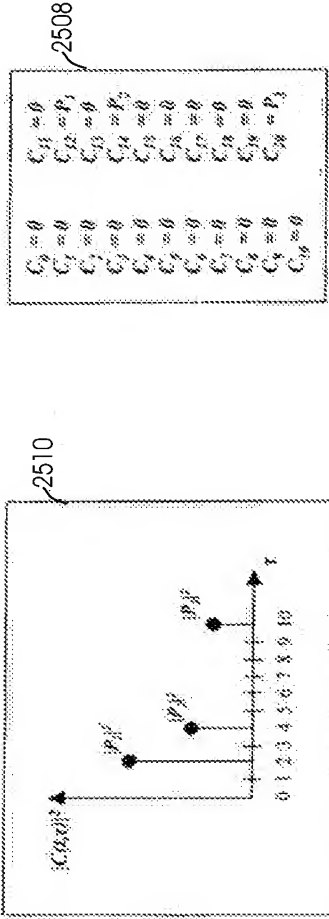
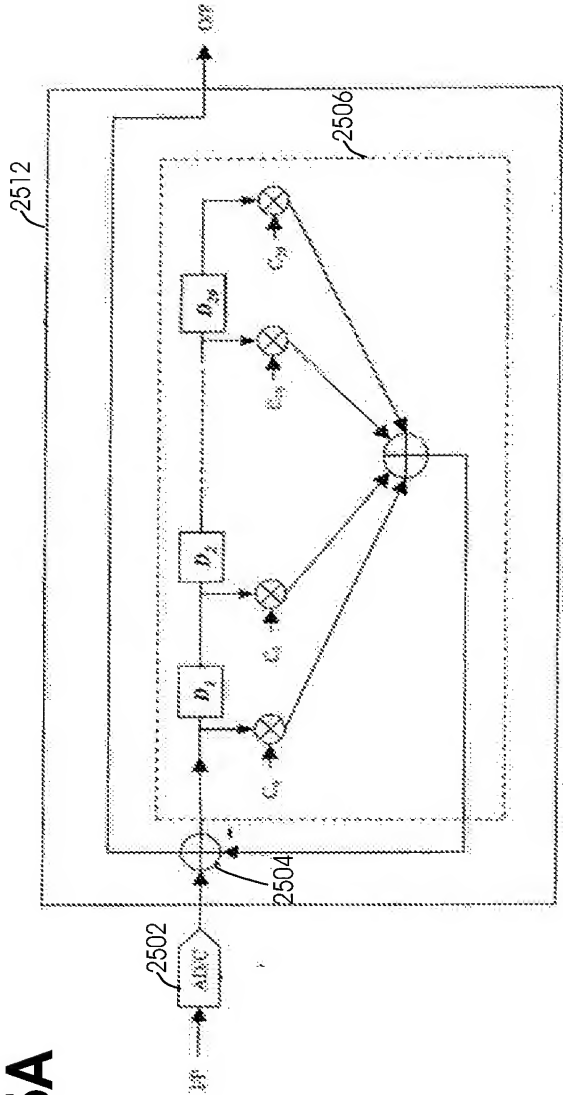


Fig. 13C



$$I_1 + c d_1 + \theta_1 \approx I_2 + c d_2 + \theta_2 + \alpha \Delta_1 = I_2 + c d_2 + \theta_2 + \alpha \Delta_2 = I_2$$



24/27

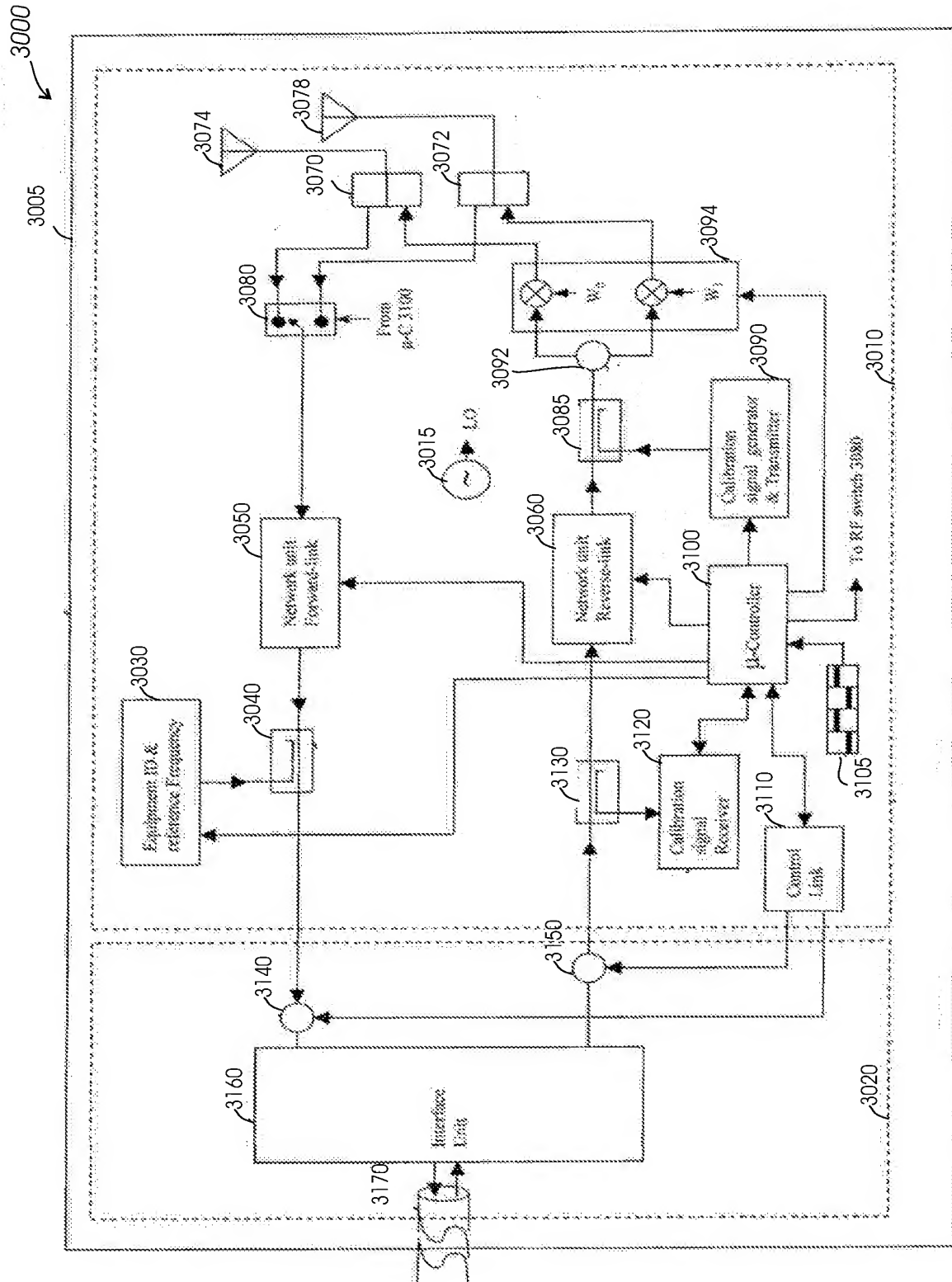


Fig. 16

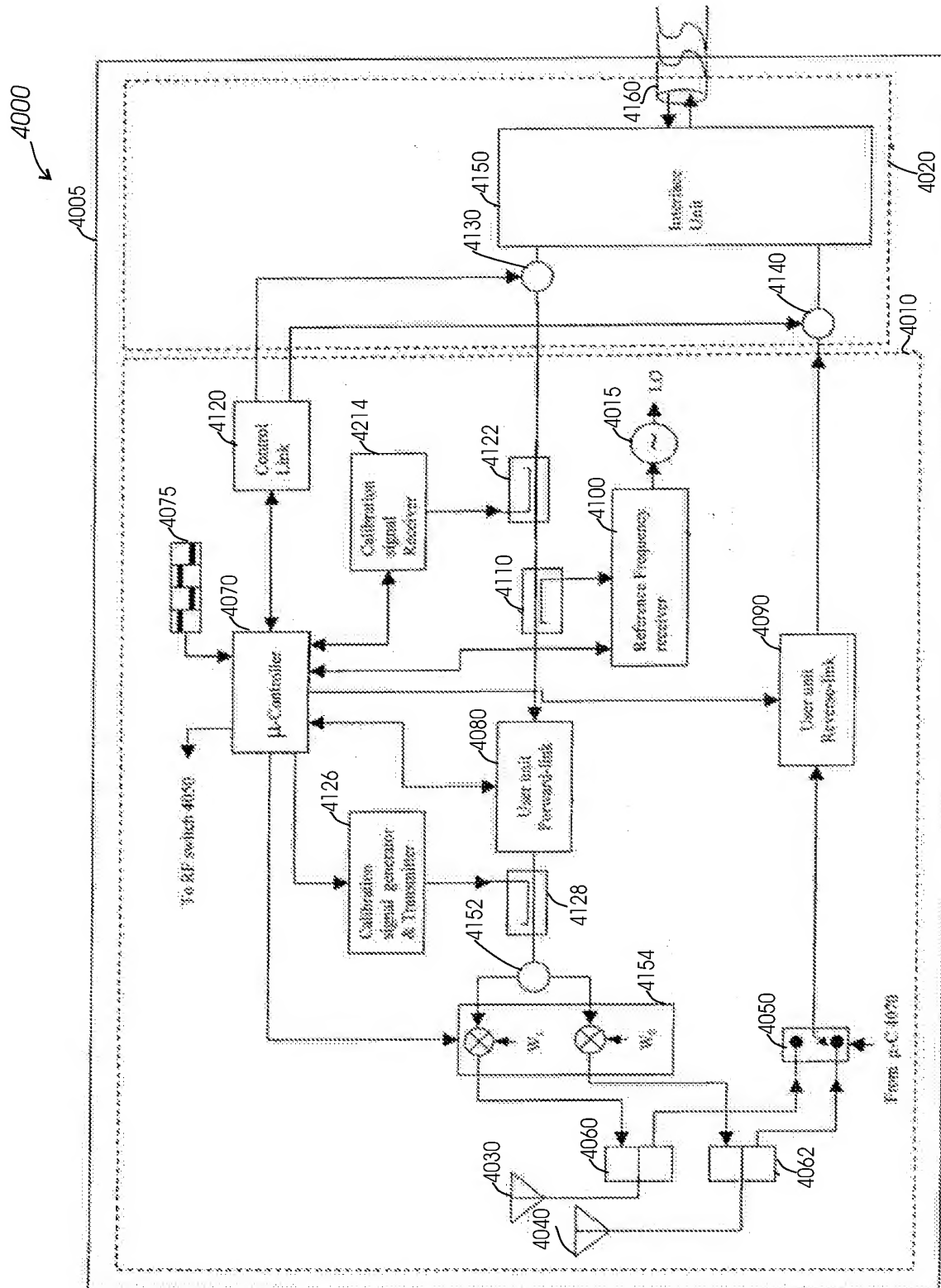


Fig. 17

26/27

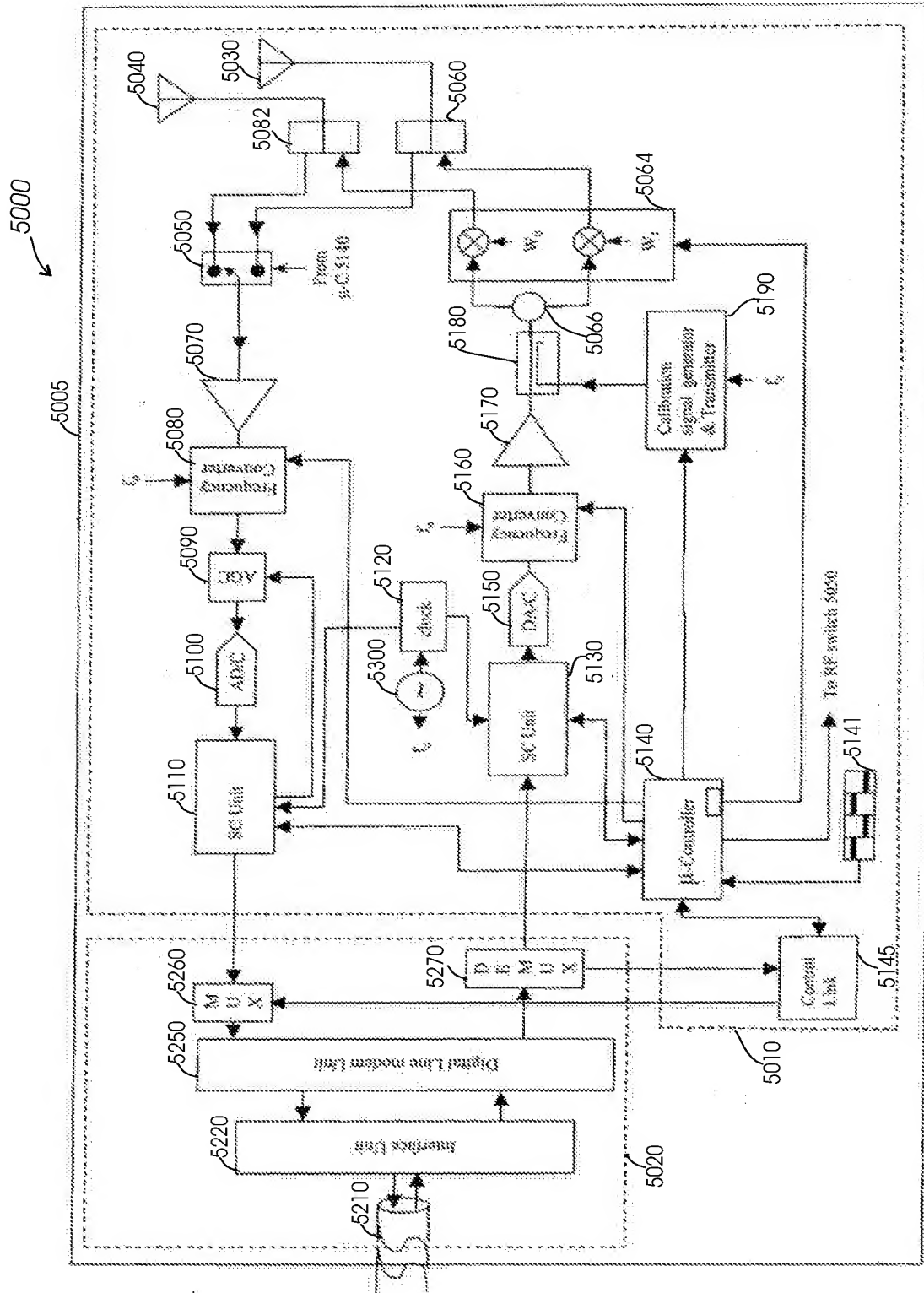


Fig. 18

27/27

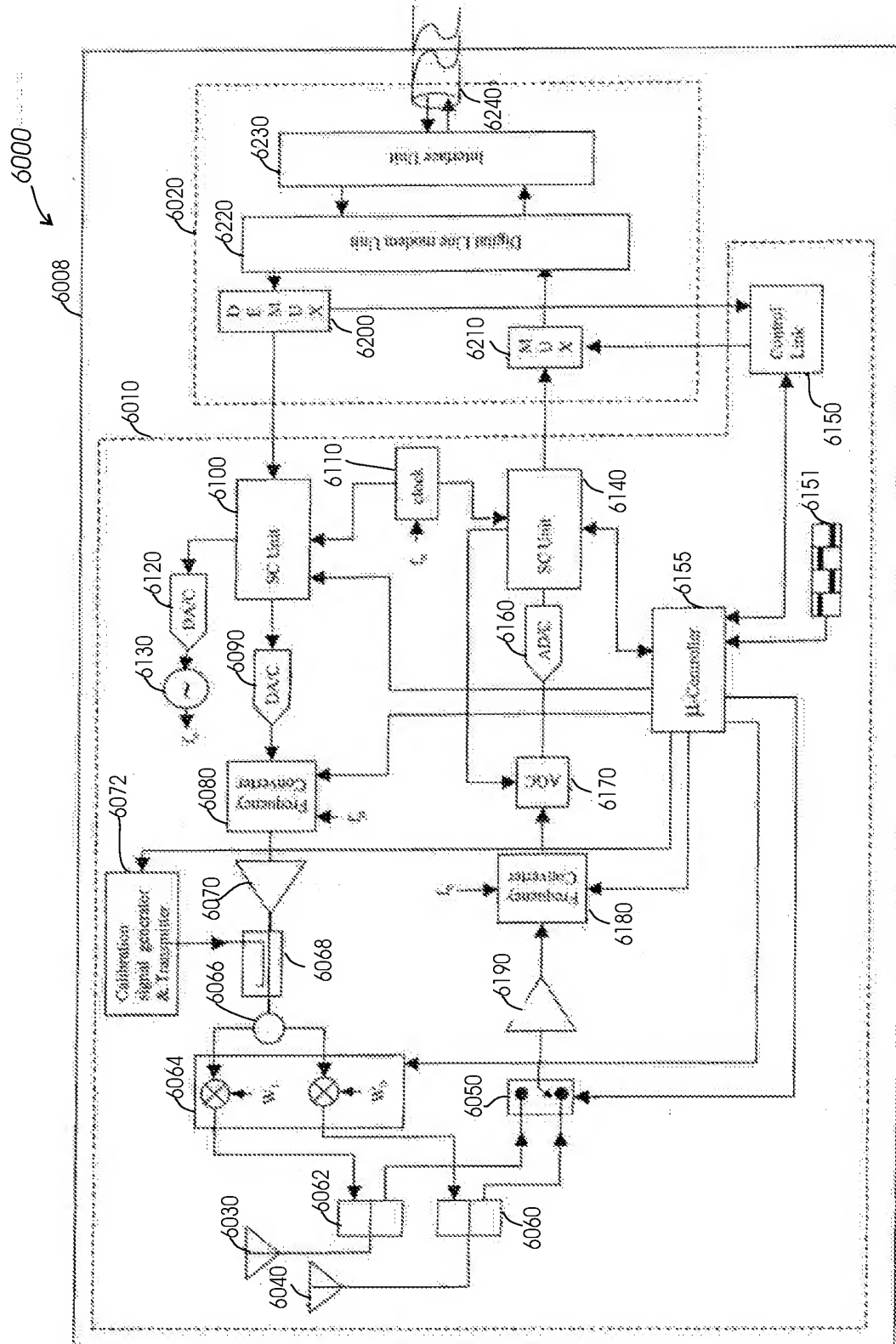


Fig. 19